

Влияние кинетических граничных условий на сечение рассеяния электромагнитного излучения на малой металлической частице

© И.А. Кузнецова,¹ М.Е. Лебедев,¹ А.А. Юшканов²

¹Ярославский государственный университет им. П.Г. Демидова,
150000 Ярославль, Россия

²Московский государственный областной университет,
105005 Москва, Россия
e-mail: m.e.lebedev@ya.ru

(Поступило в Редакцию 21 мая 2014 г. В окончательной редакции 17 ноября 2014 г.)

В дипольном приближении вычислено сечение рассеяния малой металлической частицы сферической формы, помещенной в поле плоской электромагнитной волны. Радиус частицы предполагается малым по сравнению с характерной глубиной скин-слоя, что позволяет пренебречь скин-эффектом. Расчеты выполнены в рамках кинетического подхода при произвольном соотношении между длиной свободного пробега электронов и радиусом частицы. Для нахождения неравновесной функции распределения использовалась модель диффузно-зеркальных граничных условий Фукса. Получены асимптотические приближения для случая крупных частиц, согласующиеся с известными результатами макроскопической теории.

Введение

Электрические и оптические свойства малых металлических частиц (линейный размер частицы много меньше длины волны электромагнитного излучения) могут значительно отличаться от подобных свойств массивных образцов [1–4]. Если радиус частицы a становится сравним или меньше длины свободного пробега электронов λ , то их взаимодействие с поверхностью начинает оказывать существенное влияние на большинство явлений, происходящих в частице [1–4]. Такие оптические характеристики частицы, как сечение поглощения и сечение рассеяния, обнаруживают нетривиальную зависимость от отношения a/λ .

В настоящее время возрастающий интерес исследователей вызывают композитные материалы, содержащие наночастицы различных металлов. Тонкопленочные композитные материалы востребованы сегодня в качестве экранирующих покрытий в военной технике, они же позволяют значительно повысить эффективность кремниевых [5] и органических [6] солнечных элементов. Поглощающие и рассеивающие свойства покрытия существенно зависят от размеров, формы и материала частиц. Для описания оптических свойств таких композитов необходимо исследовать механизмы взаимодействия электромагнитного излучения с изолированной частицей.

Современные технологии позволяют получать частицы размером несколько нанометров. У типичных металлов с высокой проводимостью, таких как медь, алюминий, золото и прочие, длина свободного пробега электронов λ при комнатной температуре $\lambda \sim 10\text{--}100\text{ nm}$, а длина волны де Бройля порядка межатомного расстояния $\Lambda_B \sim 0.3\text{ nm}$ [7]. При условии $\Lambda_B \ll a < \lambda$, вполне достижимом экспериментально (получение проводящих наночастиц с заданными свойствами широко освещено в литературе, например, [8,9]), справедливо классическое

кинетическое описание размерных эффектов, определяемое квазиклассическим движением электронов [7].

В настоящей работе рассматривается малая сферическая частица немагнитного металла, находящаяся в поле плоской линейно поляризованной электромагнитной волны частоты ω . Результат взаимодействия частицы с излучением составляют два процесса, которые могут рассматриваться независимо: поглощение излучения, приводящее к нагреванию частицы, и рассеяние излучения, характеризующееся угловым распределением вторичной волны. Рассматривается вопрос о влиянии механизма поверхностного рассеяния электронов на сечение рассеяния электромагнитного излучения мелкой металлической частицей сферической формы.

Диапазон рассматриваемых частот определяется условием малости вклада плазменного резонанса в диссипацию энергии волны в частице: $\omega^2 \ll \omega_p^2$, где ω_p — частота плазменного резонанса (в металлах имеет характерное значение 10^{16} s^{-1}). Практически это означает, что ω ограничена сверху частотами ближнего ИК-диапазона. Отметим, что исследование оптических свойств частиц вблизи частоты плазменного резонанса проводилось в ряде работ. Последовательное кинетическое описание поведения поверхностных плазмонов в сфероидальных наночастицах металлов представлено в работе [10].

Если размер частицы мал по сравнению с длиной рассеиваемой волны $\Lambda = c/\omega$ ($a \ll \Lambda$), то электромагнитное поле вблизи частицы можно считать однородным. Частица в однородном поле приобретает электрический и магнитный моменты \mathbf{P} и \mathbf{M} соответственно. Рассеянная волна — результат излучения этими моментами на больших (по сравнению с Λ) расстояниях от частицы. Радиус частицы a считается меньше характерной глубины скин-слоя δ , что позволяет пренебречь скин-эффектом. На соотношение между длиной свободного пробега электронов λ и радиусом частицы a ограничений не накладывается.

Подробные оценки, выполненные в работе [1] показывают, что для частиц размером 1–10 nm вследствие экранировки электрического поля в частице в рассматриваемом диапазоне частот вклад токов дипольной электрической поляризации в поглощение мал по сравнению с вкладом вихревых токов, индуцируемых магнитным полем волны. В то же время, в полном сечении рассеяния доминирует электрическое дипольное рассеяние [11,12]. Однако, как показано в работе [13], для дифференциального сечения рассеяния при определенных углах рассеяния доминирующим становится магнитное дипольное рассеяние. В настоящей работе проводится последовательный кинетический расчет дифференциального сечения рассеяния с учетом смешанного диффузно-зеркального характера отражения электронов от границы образца.

Постановка задачи

С учетом вышеперечисленных допущений определим сечение рассеяния на малой частице радиуса a . Первоначально рассмотрим сечение магнитного дипольного рассеяния. Задача о его вычислении сводится к нахождению магнитного момента \mathbf{M} , приобретаемого сферической частицей в переменном магнитном поле. Однородное периодическое во времени магнитное поле $\mathbf{H} = \mathbf{H}_0 \exp(-i\omega t)$ порождает вихревое электрическое поле \mathbf{E} , которое находится из уравнения индукции Максвелла:

$$\operatorname{rot} \mathbf{E} = -\frac{1}{c} \frac{\partial \mathbf{H}}{\partial t}$$

в виде

$$\mathbf{E} = \frac{1}{2c} \left[\mathbf{r} \times \frac{\partial \mathbf{H}}{\partial t} \right] = \frac{\omega}{2ic} [\mathbf{r} \times \mathbf{H}_0] \exp(-i\omega t), \quad (1)$$

где c — скорость света, \mathbf{r} — радиус-вектор электрона (начало координат 0 — в центре частицы), ω — угловая частота поля, \mathbf{H}_0 — амплитуда магнитного поля волны.

Если радиус частицы больше длины свободного пробега электронов ($a > \lambda$), то для плотности тока \mathbf{j} выполняется локальный закон Ома:

$$\mathbf{j} = \Sigma_V \mathbf{E}, \quad (2)$$

где Σ_V — объемная проводимость Друде, являющаяся функцией только частоты излучения ω , $\Sigma_V = \Sigma_0 / (1 - i\omega\tau)$, $\Sigma_0 = e^2 n \tau / m$ — статическая проводимость металла, e , m и n — соответственно заряд, эффективная масса и концентрация электронов, τ — время релаксации.

В случае, когда радиус частицы меньше или сравним с длиной свободного пробега электронов ($a \leq \lambda$) плотность тока \mathbf{j} становится нелокальной величиной, а проводимость является функцией не только частоты ω , но и координат \mathbf{r} . В этом случае макроскопическая электродинамика неприменима, и для описания связи между электрическим полем \mathbf{E} и плотностью тока \mathbf{j} необходим кинетический подход [1,4].

В линейном (по внешнему полю \mathbf{E} и малым отклонениям от состояния равновесия f_1) приближении уравнение Больцмана имеет следующий вид:

$$-i\omega f_1 + v \frac{\partial f_1}{\partial \mathbf{r}} + e v \mathbf{E} \frac{\partial f_0}{\partial \varepsilon} = -\frac{f_1}{\tau}, \quad (3)$$

где предположена стационарная зависимость от времени ($f_1 \sim \exp(-i\omega t)$), а интеграл столкновений взят в приближении времени релаксации τ . Неравновесная функция распределения электронов $f(\mathbf{r}, \mathbf{v})$ есть сумма равновесной функции распределения Ферми–Дирака $f_0(\varepsilon)$ и малой неравновесной поправки $f_1(\mathbf{r}, \mathbf{v})$:

$$f(\mathbf{r}, \mathbf{v}, t) = f_0(\varepsilon) + f_1(\mathbf{r}, \mathbf{v}), \quad (4)$$

где \mathbf{v} — средняя скорость электронов, ε — кинетическая энергия электрона (далее предполагается квадратичная зависимость энергии электрона от скорости $\varepsilon = mv^2/2$). Для равновесной функции распределения $f_0(\varepsilon)$ используем ступенчатую аппроксимацию:

$$f_0(\varepsilon) = \theta(\varepsilon_F - \varepsilon) = \begin{cases} 1, & 0 \leq \varepsilon \leq \varepsilon_F, \\ 0, & \varepsilon > \varepsilon_F, \end{cases} \quad (5)$$

где $\varepsilon_F = mv_F^2/2$ — энергия Ферми, v_F — скорость Ферми.

Отклонение системы от состояния равновесия под действием вихревого поля \mathbf{E} (1), т.е. наличие неравновесной поправки f_1 , обуславливает возникновение вихревого тока внутри частицы:

$$\mathbf{j} = en \langle \mathbf{v} \rangle = e \int \mathbf{v} f \frac{2d^3(mv)}{h^3} = 2 \left(\frac{m}{h} \right)^3 e \int \mathbf{v} f_1 d^3v, \quad (6)$$

где h — постоянная Планка. В формуле (6) принята стандартная нормировка функции распределения f , при которой плотность электронных состояний равна $2/h^3$.

Магнитный момент, созданный током \mathbf{j} , имеет вид [12]

$$\mathbf{M} = \frac{1}{2c} \int [\mathbf{r} \times \mathbf{j}] dV. \quad (7)$$

Электрический момент в первом приближении по $1/\varepsilon$, где $\varepsilon = 1 + 4i\pi\Sigma_V(\omega)/\omega$ — комплексная диэлектрическая проницаемость металла на частоте ω , можно вычислить как момент проводящего ($\varepsilon \rightarrow \infty$) шара радиуса a в однородном электрическом поле \mathbf{E} :

$$\mathbf{P} = a^3 \mathbf{E}, \quad (8)$$

На больших (по сравнению с λ) расстояниях r от частицы поле рассеянной волны дается формулами [12]

$$\mathbf{H}' = \frac{\omega^2}{c^2 r} \{ [\mathbf{n} \times \mathbf{P}] + [\mathbf{n} \times [\mathbf{M} \times \mathbf{n}]] \}, \quad \mathbf{E}' = [\mathbf{H}' \times \mathbf{n}]. \quad (9)$$

где единичный вектор \mathbf{n} указывает направление рассеяния, а значения \mathbf{P} и \mathbf{M} должны быть взяты в момент времени $(t - r/c)$; поле рассеянной волны обозначено буквами со штрихами, поле падающей волны — буквами

без штрихов. Средняя интенсивность излучения, рассеянного в телесный угол do :

$$dI = \frac{1}{2} \frac{c}{4\pi} |\mathbf{H}'|^2 r^2 do. \quad (10)$$

Плотность потока энергии в падающей волне

$$\frac{c}{8\pi} |\mathbf{H}|^2 = \frac{c}{8\pi} |\mathbf{E}|^2. \quad (11)$$

Отношение интенсивности рассеянного излучения (10) к плотности потока энергии (11) дает дифференциальное сечение рассеяния

$$d\sigma = \frac{|\mathbf{H}'|^2}{|\mathbf{H}|^2} r^2 do, \quad (12)$$

после интегрирования (12) по всем углам получим полное сечение рассеяния σ .

Метод решения и математические расчеты

Однозначное решение уравнения (3) возможно лишь при задании для искомой функции распределения f_1 граничного условия на внутренней поверхности частицы. Физически это означает, что при выполнении условия $a \leq \lambda$ сечение поглощения начинает существенно зависеть от характера взаимодействия электронов с поверхностью частицы.

Рассмотрим диффузно-зеркальное граничное условие (модель Фукса [14]):

$$f_1(\mathbf{r}, \mathbf{v}) = qf_1(\mathbf{r}, \mathbf{v}') \quad \text{при} \quad \begin{cases} |\mathbf{r}| = a, \\ \mathbf{r}\mathbf{v} < 0, \end{cases} \quad (13)$$

где коэффициент зеркальности q равен отношению числу электронов, отразившихся от поверхности частицы зеркально, $\mathbf{v}' = \mathbf{v} - 2\mathbf{r}(\mathbf{r}\mathbf{v})/a^2$ — вектор скорости, который при зеркальном отражении от поверхности частицы в точке \mathbf{r} ($|\mathbf{r}| = a$) переходит в вектор \mathbf{v} .

При $q = 0$ выполняется условие полностью диффузного отражения, т. е. функция распределения электронов f сразу после отражения становится равновесной, так как $f_1(\mathbf{r}, \mathbf{v}) = 0$. При $q = 1$ отражение электронов от поверхности чисто зеркальное, так как вектор скорости \mathbf{v}' в точке отражения переходит в вектор \mathbf{v} . Изменение q в пределах $0 \leq q \leq 1$ позволяет смоделировать различные варианты смешанного диффузно-зеркального отражения [1,13].

Уравнение Больцмана (3) решается методом характеристик-траекторий [15]. Изменение функции f_1 вдоль такой траектории $d\mathbf{r} = \mathbf{v}dt'$ можно выразить, преобразовав уравнение (3):

$$df_1 = - \left(v f_1 + e(\mathbf{E}\mathbf{v}) \frac{\partial f_0}{\partial \varepsilon} \right) dt'. \quad (14)$$

Здесь $\nu = \tau^{-1} - i\omega$ — комплексная частота рассеяния. Обозначим через параметр характеристики t' в точке n -го отражения электрона от поверхности частицы ($t'_n > t'_{n-1}$). Если рассматривать граничное условие (13) в случае зеркального отражения электронов от поверхности, то функция f_1 в точке отражения $t' = t'_n$ меняется скачкообразно:

$$f_1(t'_n + 0) = qf_1(t'_n - 0), \quad (15)$$

где n — целочисленный индекс, нумерующий точки отражения в порядке их появления при направленном движении по траектории.

При зеркальном отражении угловой момент сохраняется $[\mathbf{r}\mathbf{v}] = [\mathbf{r}\mathbf{v}'] = \text{const}$. Это означает, что все звенья данной траектории являются конгруэнтными и располагаются в плоскости круга, а разность $(t'_n - t'_{n-1})$ не зависит от номера n точки отражения

$$t'_n = nT + \text{const}, \quad n \in \mathbb{Z},$$

где T — время пролета со скоростью \mathbf{v} от точки \mathbf{r}_{n-1} до точки \mathbf{r}_n :

$$T = -2(\mathbf{v}_n \mathbf{r}_n) / v^2.$$

Величина $(\mathbf{E}\mathbf{v})$ также постоянна вдоль траектории:

$$\mathbf{E}\mathbf{v} = \frac{\omega}{2ic} [\mathbf{r}\mathbf{H}]\mathbf{v} = \frac{i\omega}{2c} [\mathbf{r}\mathbf{v}]\mathbf{H} = \text{const}.$$

Решая уравнение (14) в интервале (t'_{n-1}, t'_n) и применяя условие (15), получаем связь между начальными значениями f_1 на двух соседних звеньях траектории:

$$f_1(t'_n + 0) = q \left\{ - \frac{e(\mathbf{E}\mathbf{v})}{v} \left(\frac{\partial f_0}{\partial \varepsilon} \right) (1 - \exp(-\nu T)) + f_1(t'_{n-1} + 0) \exp(-\nu T) \right\}.$$

Выражая затем с помощью этого рекуррентного соотношения $f_1(t'_{n-1} + 0)$ через $f_1(t'_{n-2} + 0)$ и т. д., получаем выражение для $f_1(t'_n + 0)$ через сумму геометрической прогрессии со знаменателем $q \cdot \exp(-\nu T)$. Суммируя ее, получим

$$f_1(t'_n + 0) = -q \left[\frac{e(\mathbf{E}\mathbf{v})}{v} \left(\frac{\partial f_0}{\partial \varepsilon} \right) (1 - \exp(-\nu T)) \right] / (1 - \exp(-\nu T)). \quad (16)$$

Интегрируя уравнение (14) с начальным условием (16), находим вид функции $f_1(t')$:

$$f_1(t') = \frac{e(\mathbf{E}\mathbf{v})}{v} \left(\frac{\partial f_0}{\partial \varepsilon} \right) \left[\frac{(1-q) \exp(-\nu t')}{1 - q \exp(-\nu T)} - 1 \right]. \quad (17)$$

При $n = 0$, $\mathbf{v}_0 = \mathbf{v}$ параметры t' и T можно связать с координатами точки (\mathbf{r}, \mathbf{v}) в фазовом пространстве условиями

$$\begin{aligned} \mathbf{r} &= \mathbf{r}_0 + \mathbf{v}t', \quad \mathbf{v}\mathbf{r}_0 < 0, \quad \mathbf{r}_0^2 = a^2, \\ T &= -2(\mathbf{v}\mathbf{r}_0) / v^2. \end{aligned} \quad (18)$$

Здесь параметр t' имеет смысл времени движения электрона вдоль траектории от границы до точки \mathbf{r} со скоростью \mathbf{v} . Исключив из (18) \mathbf{r}_0 , получим

$$t' = \left((\mathbf{r}\mathbf{v} + \sqrt{(\mathbf{r}\mathbf{v})^2 + (a^2 - r^2)v^2}) \right) / v^2,$$

$$T = 2\sqrt{(\mathbf{r}\mathbf{v})^2 + (a^2 - r^2)v^2} / v^2. \quad (19)$$

Соотношения (17) и (19) полностью определяют функцию $f_1(\mathbf{r}, \mathbf{v})$. Найденная функция распределения позволяет рассчитать ток (6).

При вычислении тока (6) удобно перейти к сферическим координатам как в пространстве координат (r, θ, φ) , полярная ось $z \parallel \mathbf{H}_0$, так и в пространстве скоростей (v, α, β) , полярная ось — ось v_r . Поле \mathbf{E} в сферических координатах имеет только φ -компоненту:

$$\mathbf{E} = E_\varphi \mathbf{e}_\varphi, \quad E_\varphi = \frac{i\omega}{2c} r H_0 \sin(\theta) \exp(-i\omega t). \quad (20)$$

Ток \mathbf{j} (6) также обладает лишь φ -компонентой (линии тока — замкнутые окружности с центрами на оси z в плоскости, перпендикулярной оси z). Решению (17) соответствует ток:

$$j_\varphi = E_\varphi \left(\frac{ne^2 a}{mv_F} \right) \frac{3}{4z_0}$$

$$\times \left[\frac{4}{3} + \int_0^1 \int_{-1}^1 \frac{(q-1) \exp[-z_0(\xi\mu + \eta_0/2)]}{1 - q \exp(-z_0\eta_0)} (1-\mu^2) d\mu d\xi \right]. \quad (21)$$

Здесь введены безразмерные переменные

$$z_0 = av/v_F = x_0 - iy_0, \quad x_0 = a/(v_F \tau), \quad y_0 = a\omega/v_F,$$

$$\xi = r/a, \quad \mu = (\mathbf{v}\mathbf{r})/(|\mathbf{v}||\mathbf{r}|) = \cos \alpha,$$

$$\eta_0 = \frac{v_F T}{a} = 1\sqrt{\xi^2 \mu^2 + 1 - \xi^2}$$

и учтено, что

$$vt' = z_0(\xi\mu + \eta_0/2), \quad vT = z_0\eta_0,$$

$$n = 2(m/h)^3 \int f_0 d^3v = 2(m/h)^3 4\pi v_F^3 / a^3.$$

Для магнитного момента (7), принимая во внимание, что направление тока \mathbf{j} всегда перпендикулярно направлению радиуса-вектора \mathbf{r} , получаем

$$M = \frac{i3\pi^2 a^5}{16c^2 z_0} \left(\frac{ne^2 a}{mv_F} \right) \omega \cdot H_0 \exp(-i\omega t)$$

$$\times \left[\frac{4}{15} + \int_0^1 \int_{-1}^1 \xi^4 \frac{(q-1) \exp[-z_0(\xi\mu + \eta_0/2)]}{1 - q \exp(-z_0\eta_0)} \right.$$

$$\left. \times (1 - \mu^2) d\mu d\xi \right]. \quad (22)$$

Выполнив замену переменных $\rho = \eta_0/2 = \sqrt{\xi^2 \mu^2 - 1 + \xi^2}$, $u = \xi\mu$ и интегрирование по u , для магнитного момента (22) получим следующее выражение:

$$\mathbf{M} = i \frac{3\pi^2}{16} \frac{ne^2 y_0}{c^2 m} a^5 F(q, x_0, y_0) \mathbf{H}, \quad (23)$$

$$F(q, x_0, y_0) = \frac{4}{15z_0}$$

$$+ \int_0^1 \rho(1-\rho^2) \frac{(q-1)[1 - \exp(-2z_0\rho)]}{z_0^2[1 - q \exp(-2z_0\rho)]} d\rho. \quad (24)$$

Таким образом, магнитный момент \mathbf{M} (7) пропорционален напряженности магнитного поля \mathbf{H} (23) [12]:

$$\mathbf{M} = -a^3 \gamma \mathbf{H}. \quad (25)$$

Здесь коэффициент пропорциональности $(-a^3 \gamma)$ содержит безразмерную величину γ , которую представим в виде

$$\gamma(x_0, y_0, d) = \frac{-3i\pi y d^2}{64} F(q, x_0, y_0), \quad (26)$$

$$d = \frac{a}{\delta_{\text{inf}}} = \frac{a\omega_p}{c} = \frac{a\sqrt{4\pi e^2 n/m}}{c},$$

где безразмерный параметр d введен как величина, обратная характерной глубине скин-слоя в пределе высоких частот $\delta_{\text{inf}} = c/\omega_p \sim 3 \cdot 10^{-8}$ м, ω_p — частота плазменного резонанса.

Учитывая взаимную перпендикулярность векторов \mathbf{E} и \mathbf{H} , после соответствующих вычислений с учетом (3)–(5), (10)–(12) для дифференциального сечения рассеяния получим

$$d\sigma(q, x_0, y_0, \psi, \phi) = \frac{a^6 \omega^4}{c^4} K(q, x_0, y_0, \psi, \phi) d\omega, \quad (27)$$

$$K(q, x_0, y_0, \psi, \phi) = K_E(\psi, \phi) + K_M(q, x_0, y_0, \psi, \phi)$$

$$+ K_I(q, x_0, y_0, \psi, \phi), \quad (28)$$

$$K_E = \sin^2 \phi + \cos^2 \psi \cos^2 \phi,$$

$$K_M = |\gamma|^2 \cos^2 \phi + \cos^2 \psi |\gamma|^2 \sin^2 \phi,$$

$$K_I = -(\gamma + \gamma^*) \cos \psi.$$

Здесь ψ и ϕ соответственно полярный и азимутальный углы системы координат, центр которой — в центре частицы, а полярная ось направлена вдоль направления распространения падающей волны (рис. 1). Коэффициент $K(q, x_0, y_0, \psi, \phi)$ в (27) (назовем его безразмерным дифференциальным сечением рассеяния) определяет зависимость сечения рассеяния от коэффициента зеркальности q , величин x_0, y_0 , и от углов ψ и ϕ ; K_E и K_M — составляющие дифференциального сечения рассеяния, обусловленные электрическим и магнитным моментом соответственно; K_I — перекрестная компонента, возникающая вследствие наложения рассеянных волн. Сумму

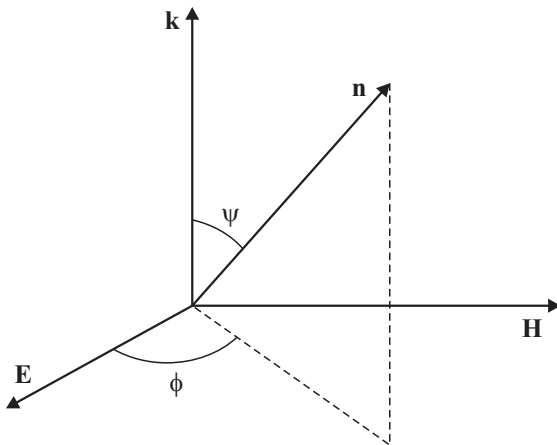


Рис. 1. Направления падающей (\mathbf{k}) и рассеянной волн (\mathbf{n}).

$K_M + K_I$ обозначим K_{MI} , именно эти составляющие содержат величину γ (26), учитывающую вклад кинетических эффектов, обусловленных диффузно-зеркальным отражением электронов от сферической поверхности частицы.

Обсуждение результатов

Вклад поверхностных столкновений в дифференциальное сечение рассеяния описывается вторым слагаемым (интегралом) в выражении для $F(q, x_0, y_0)$ (24), входящем в γ (26). Первое слагаемое в (24) обусловлено объемными столкновениями электронов, что соответствует макроскопической теории Ми. С ростом размера частицы в предельном случае $x_0 = a/\lambda \gg 1$ относительный вклад поверхностных столкновений по сравнению с объемными столкновениями убывает как x_0^{-1} ($|z_0| \sim x_0^{-1}$). Следовательно, для величины γ (26) имеет место макроскопическая асимптотика

$$\gamma \approx \frac{-3i\pi y_0 d^2}{64} \frac{4}{15(x_0 - iy_0)}. \quad (29)$$

Здесь учтено, что для рассматриваемого диапазона частот $\omega \ll \omega_p$ диэлектрическая проницаемость $\varepsilon = \varepsilon(\omega) \approx -i4\pi\Sigma(\omega)/\omega$, где $\Sigma(\omega) = 1/(1 - i\omega\tau)$ — проводимость Друде, $\Sigma_0 = ne^2\tau/m$ — статическая проводимость. Следовательно, в случае малых длин свободного пробега ($x_0 = a/\lambda \gg 1$) дифференциальное сечение рассеяния (27) с учетом (29) переходит в результат классической теории Ми [12]. Однако, уже при $\lambda \sim a$ ($x_0 \sim 1$) и тем более в обратном предельном случае больших длин свободного пробега ($x_0 = a/\lambda \ll 1$) вклад поверхностных столкновений в дифференциальное сечение рассеяния (27) при определенных углах рассеяния становится весьма существенным (рис. 5).

В другом предельном случае чисто зеркального отражения при $q \rightarrow 1$ величина γ (26) также переходит в выражение (29), а дифференциальное сечение рассеяния (27), соответственно — в классический результат [12]. Это связано с тем, что при $q = 1$ граница

не оказывает влияния на функцию распределения f_1 , поэтому вихревой ток внутри зеркально-отражающей сферы удовлетворяет локальному закону Ома при любом соотношении между радиусом частицы a и длиной свободного пробега электронов λ .

Зависимости безразмерного дифференциального сечения рассеяния K (28) от коэффициента зеркальности q при различных значениях параметров x_0 и y_0 представлены на рис. 2. Видно, что ростом q сечение рассеяния

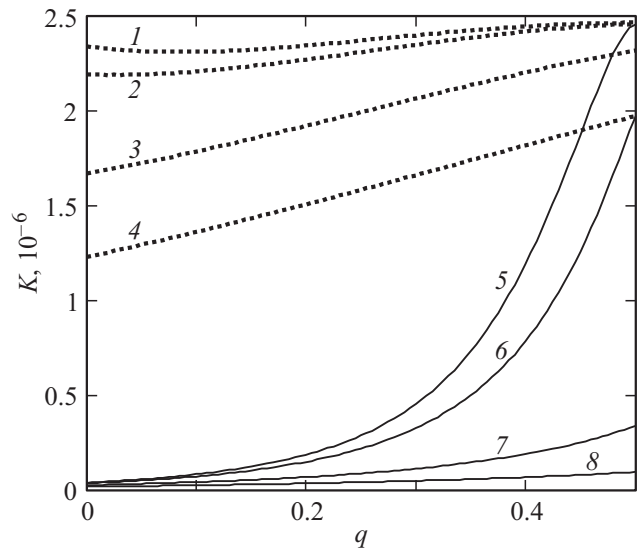


Рис. 2. Зависимость коэффициента рассеяния K от коэффициента зеркальности q для углов $\psi = \pi/2$, $\phi = 0$. Кривые 1–4 (пунктирные) — $y_0 = 2$; 5–8 (сплошные) — $y_0 = 0.2$. Кривые 1, 5 — $x_0 = 0.01$; 2, 6 — $x_0 = 0.1$; 3, 7 — $x_0 = 0.5$; 4, 8 — $x_0 = 1$ соответственно.

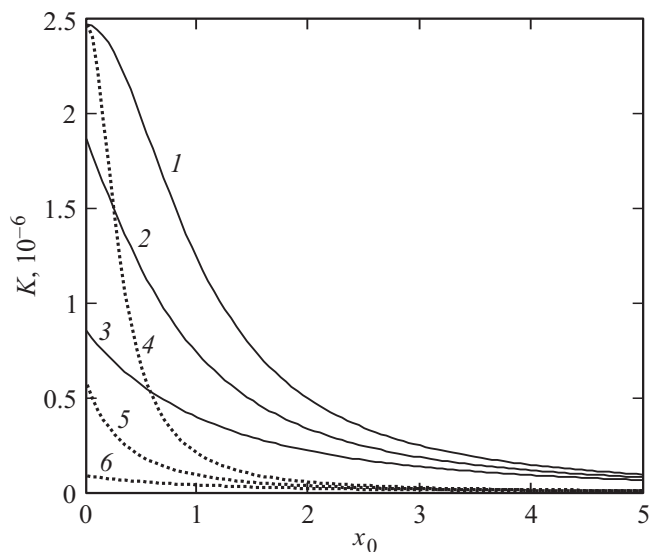


Рис. 3. Зависимость коэффициента рассеяния K от безразмерной длины свободного пробега x_0 для углов $\psi = \pi/2$, $\phi = 0$, $d = 0.2$. Кривые 1, 4 — $q = 1$; 2, 5 — $q = 0.5$; 3, 6 — $q = 0$; $y_0 = 1$ для кривых 1–3 (сплошные), $y_0 = 0.3$ для кривых 4–6 (пунктирные).

наиболее существенно возрастает в низкочастотном случае при малых значениях x_0 .

На рис. 3 изображены зависимости коэффициента рассеяния K от безразмерной обратной длины свободного пробега $x_0 = a/\lambda$. Из графиков видно, что с уменьшением x_0 безразмерное дифференциальное сечение рассеяния возрастает при любых значениях коэффициента зеркальности q . Этот размерный эффект является следствием кинетического расчета и не проявляется в рамках макроскопической теории. Из графиков также следует, что с увеличением значений x_0 все кривые

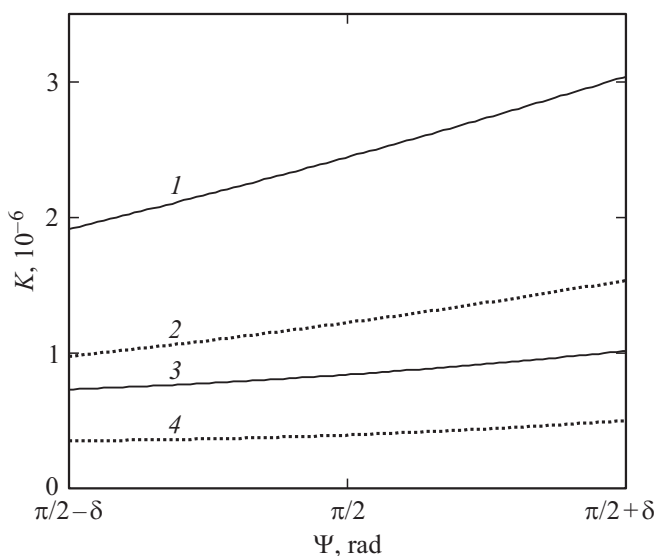


Рис. 4. Зависимость коэффициента рассеяния K от угла ψ в интервале $\psi = \pi/2 \pm 0.0002$ при $y_0 = 1$, $\phi = 0$, $d = 0.2$. Кривые 1, 2 — $q = 1$; 3, 4 — $q = 0$. Значения $x_0 = 0.01$, $x_0 = 0.1$ для нечетных и четных кривых соответственно.

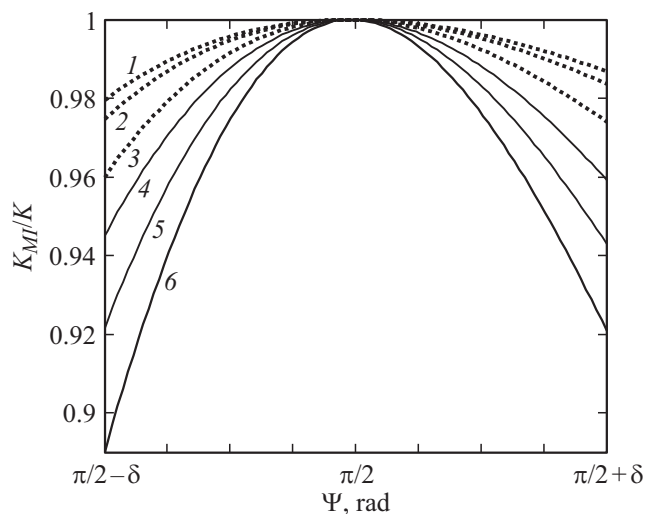


Рис. 5. Зависимость K_{MI}/K от угла ψ в интервале $\pi/2 \pm \delta$ ($\delta = 2 \cdot 10^{-4}$ rad) при $\phi = 0$, $d = 0.2$, $y_0 = 1$. Кривые 1–3 (пунктирные) — $q = 1$; 4–6 — $q = 0$. Кривые 1, 4 — $x_0 = 0.05$; 2, 5 — $x_0 = 0.5$; 3, 6 — $x_0 = 1$.

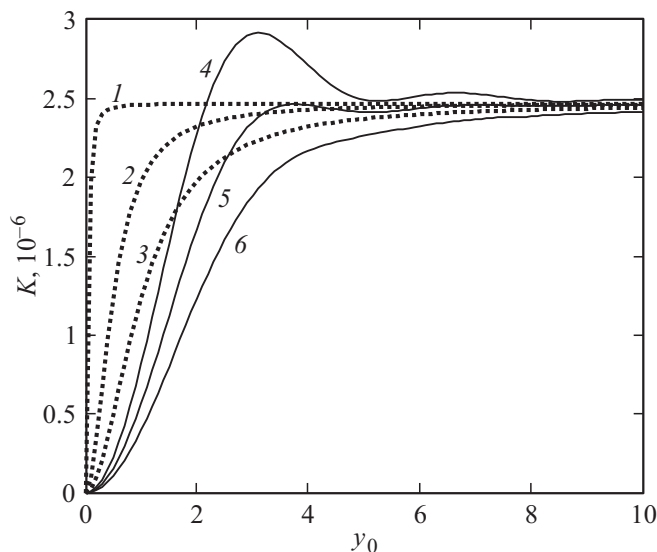


Рис. 6. Зависимость коэффициента рассеяния K от безразмерной частоты поля y_0 . Для всех кривых $\psi = \pi/2$, $\phi = 0$, $d = 0.2$. Пунктирные кривые $q = 1$; сплошные — $q = 0$. Кривые 1, 4 — $x_0 = 0.05$; 2, 5 — $x_0 = 0.5$; 3, 6 — $x_0 = 1$.

приближаются к макроскопической асимптотике (при $x_0 \gg 1$).

Кривые на рис. 4 соответствуют зависимостям коэффициента рассеяния K от угла ψ вблизи $\pi/2$. Видно, что значение коэффициента K в случае зеркального отражения электронов от поверхности частицы ($q = 1$) в разы превосходит значения этого коэффициента в случае диффузного отражения электронов ($q = 0$).

На рис. 5 представлены зависимости относительного вклада суммы магнитной и перекрестной составляющих K_{MI}/K от угла ψ в пределах $\pi/2 \pm \delta$, где δ — малая поправка к углу ψ , при различных значениях q . Из графиков видно, что при относительно малых значениях x_0 (низкие температуры, чистые образцы) в узком диапазоне углов вблизи $\psi = \pi/2$ в сечении рассеяния доминирует сумма магнитной и перекрестной составляющих. Отметим, что на дипольное электрическое рассеяние, характеризующееся составляющей K_E , характер взаимодействия электронов с поверхностью частицы практически не влияет.

На рис. 6 представлены спектральные зависимости дифференциального сечения рассеяния. При $x_0 \ll 1$ в высокочастотной области ($y_0 > 1$) наблюдаются затухающие осцилляции.

Из графиков видно, что форма спектральных характеристик коэффициента рассеяния в рассматриваемом угловом диапазоне зависит от механизма поверхностного отражения носителей заряда, следовательно, экспериментальное исследование дифференциального сечения рассеяния может дать информацию относительно кинетики электронов в металлической частице.

Заключение

Механизм поверхностного отражения электронов оказывает существенное влияние на магнитную дипольную составляющую дифференциального сечения рассеяния. На низкочастотном электрическом рассеянии характер поверхностных столкновений электронов в частице практически не сказывается. В определенном угловом диапазоне в направлении, перпендикулярном к направлению распространения падающей волны, т.е. к волновому вектору \mathbf{k} , магнитная дипольная составляющая рассеяния становится доминирующей. При этом кинетический учет поверхностных столкновений приводит к значительному возрастанию дифференциального сечения рассеяния с уменьшением размера частицы. Для мелких частиц ($x_0 = a/\lambda < 1$) в низкочастотной области ($y_0 = a\omega/v_F < 1$) при относительном увеличении доли зеркально-отраженных электронов дифференциальное сечение рассеяния также заметно увеличивается.

Работа выполнена на оборудовании ЦКП „Диагностика микро- и наноструктур“ при поддержке Министерства образования Российской Федерации.

Список литературы

- [1] Лесский А.Г., Пастернак В.Е., Юшканов А.А. // ЖЭТФ. 1982. Т. 83. № 1. С. 310–317.
- [2] Нагаев Э.Л. // УФН. 1992. Т. 162. № 9. С. 49–124.
- [3] Tomchuk P.M., Grigorichuk N.I. // Phys. Rev. B. 2006. Vol. 73. P. 155 423-1–15 423-17.
- [4] Лесский А.Г., Юшканов А.А., Яламов Ю.И. // Поверхность. 1987. № 11. С. 115–121.
- [5] Дорофеев С.Г., Кононов Н.Н., Звероловлев В.М. Зиновьев К.В., Суханов В.Н., Суханов Н.М., Грибов Б.Г. // ФТП. 2014. Т. 48. № 3. С. 375–384.
- [6] Ихсанов Р.Ш., Проценко И.Е., Усков А.В. // Письма в ЖТФ. 2013. Т. 39. № 10. С. 1–8.
- [7] Лифшиц И.М., Азбель М.Я., Каганов М.И. Электронная теория металлов. М.: Наука, 1971. 415 с.
- [8] Ефимов А.А., Иванов В.В., Багазеев А.В., Бекетов И.В., Волков И.А., Щербинин С.В. // ПЖТФ. 2013. Т. 39. № 23. С. 51–57.
- [9] Степанов А.Л. // ЖТФ. 2012. Т. 74. № 2. С. 1–12.
- [10] Grigorichuk N.I. // J. Appl. Phys. 2012. Vol. 112. P. 064306-1–064306-11.
- [11] Борн М., Вольф Э. Основы оптики. М.: Наука, 1973. 720 с.
- [12] Ландау Л.Д., Лифшиц Е.М. Теоретическая физика. Т. 8. Электродинамика сплошных сред. М.: Наука, 1982. 620 с.
- [13] Кузнецова И.А., Лебедев М.Е., Юшканов А.А. // Письма в ЖТФ. 2014. Т. 40. № 8. С. 70–79.
- [14] Fuchs K. // Proc. Camb. Philos. Soc. 1938. Vol. 34(1). P. 100–108.
- [15] Курант Р. Уравнения с частными производными. М.: Мир, 1964. 830 с.